

نگرش تحلیلی نوین به معادله‌های پرواز

جعفر حیرانی نوبری^{*}، حمید مومنی^{**} و محمدعلی مصوصونیا^{***}

بخش برق دانشکده فنی مهندسی، دانشگاه تربیت مدرس

دانشکده مهندسی برق، دانشگاه صنعتی شریف

(دریافت مقاله: ۱۲/۱۱/۷۸ - دریافت نسخه‌نهایی: ۵/۶/۷۹)

چکیده - معادله‌های شش درجه پرواز در شکل مرسوم و کلاسیک خود به دلیل تداخلهای زیاد مفهوم فیزیکی ملموسی را القا نمی‌کنند. در ضمن نقش مهم زوایای حمله در این معادله‌ها ناپذیر است. در این تحقیق سعی شده است آنچه از معادله‌های ساده شتاب جانبی $a_N = \omega_v^2$ و شتاب مماسی $a_t = \dot{\theta}$ برداشت می‌شود، به معادله‌های کامل شتابها در فضا متنه می‌شوند. برای این منظور مختصات چسبیده به بردار سرعت، به گونه‌ای که زوایای حمله نیز مطرح شوند، پیش‌کشیده شده است. دو زاویه حمله، پل ارتباطی دستگاه مختصات چسبیده به بدن و دستگاه مختصات چسبیده به بردار سرعت شده‌اند؛ در واقع دو زاویه اویلر ارتباط دهنده‌اند و زاویه سوم اویلر به دلخواه قابل انتخاب مانده است که با انتخابهای متفاوت تعابیر متفاوتی استنتاج پذیر است. به این ترتیب معادله‌های شتابها به صورت ساده $a_{Nz} = \omega_{yv}^2$ ، $a_t = \dot{\theta}$ و $a_{Ny} = \omega_y^2$ در آمدیده‌اند. ω_y و ω_z نیز که مؤلفه‌های سرعت زاویه‌ای بردار سرعت‌اند بر حسب سرعت زوایای حمله و سرعت زوایای roll، yaw و pitch بدن داده شده‌اند. از طرف دیگر می‌دانیم که معادله‌های گشتاور بر حسب زوایای roll، yaw و yaw و roll بدن داده شده‌اند. به این ترتیب زوایای حمله نقش پل ارتباط معادله‌های شتاب (که در مختصات سرعتی نوشته شده‌اند) و معادله‌های گشتاور (که در مختصات بدن نوشته شده‌اند) را بازی می‌کنند.

برای موشكهای متقارن که بدون roll هستند معادله‌ها ساده‌تر شده و تقریباً به صورت خطی در می‌آیند. علاوه بر این اثر عناصر ناخواسته مانند roll در معادله‌های جدید به راحتی تجزیه و تحلیل پذیر شده‌اند.

چگونگی رفتار دینامیکی بین گشتاور، چرخش بدن و چرخش بردار سرعت به طور دقیق قابل مشاهده شده است. به این ترتیب نقش هر یک از ضرایب آبرودینامیکی در رفتار دینامیکی پرواز بدون هیچ صرف نظر کردن، معین می‌شوند ولذا این نگرش نه تنها برای طراحان اتوپاپلوت بلکه برای طراحان بدن و آبرودینامیک نیز می‌تواند نقش اساسی ایفا کند. (ω سرعت زاویه‌ای بردار سرعت است).

A New Analytical Approach to Flight Equations

J. Heirani Nobari, H. Momeni, and M. A. Masoumnia

Department of Electrical Engineering, Faculty of Engineering, Tarbiat Modarres University

Department of Electrical Engineering, Sharif University of Technology

ABSTRACT- *The six-degree equations of flight in their classic form do not provide a proper physical*

*- دانشجوی دکترا **- استادیار ***- دانشیار

perception due to a number of interferences. Nor do they render visible the important role of attack angles. In this study, attempts have been made to develop a complete set of 3D acceleration equations from the equations of normal and tangential acceleration $\alpha_N = v\omega_v$, $\alpha_t = \dot{v}$. For this purpose, a coordinate set stuck to the velocity vector is introduced such that the angles of attack act as a bridge between the coordinate introduced and that of the body. Thus, $\alpha_{Ny} = v\omega_z$ and $\alpha_{Nz} = v\omega_{vy}$, are obtained, where ω_{vz} and ω_{vy} are the components of angular velocity vector given in terms of attack angles and p, q, r (the angular velocity of body in the body coordinate). It is also known that momentum equations are written in terms of p, q, r . Thus, the angles of attack play the role of a bridge between the force equations (now written in velocity coordinate) and the momentum equations (already written in the body coordinate).

For symmetric missiles without roll, these equations become simpler and nearly linear. The undesired and nonlinear effects also become easier to analyze. The dynamic behavior among the momentum, the rotation of the body and the rotation of the velocity vector become completely visible. Thus, the aerodynamic coefficients appear directly in the dynamic equations. It follows that this new approach should help not only the auto pilot designer but also the aerodynamic body designer.

فهرست علائم		
P_{IV}	مشتق نسبت به زمان بردار v از دید	$\dot{\alpha}$ مشتق زاویه α نسبت به زمان
I	دستگاه	C_a
S_a	$\sin(a)$	گشتاور میرایی حاصل از سرعت M_{zd}, M_{yd}
t_a	$\tan(a)$	نیرو F
v^B	v بردار v بیان شده در دستگاه B	چرخش حول محورهای y و z
ω_{IB}	ω بردار سرعت زاویه‌ای دستگاه B	ضریب نهایی تغییرات L_a نسبت $m^\delta y$ به δ
I	نسبت به	ضریب نهایی تغییرات M_{ys} نسبت $m^a y$ به a
		ضریب نهایی تغییرات M_{yd} نسبت $m^q y$ به q
		گشتاور سطوح کنترلی حول M_{zc}, M_{yc}
		محورهای y و z
		گشتاور سطوح پایدارساز حول M_{zs}, M_{ys}

۱- مقدمه

معادله‌های مرسوم شش درجه آزادی در بسیاری از برسیهای پرواز موشكها اساس کار هستند. چون این معادله‌ها تماماً در مختصات بدنه نوشته می‌شوند [۱ و ۲]، دارای تداخلهای عمده بین متغیرهای حالت‌اند. از جانب دیگر زاویه حمله یا زوایای حمله که اثر جدی روی پرواز دارند، در معادله‌ها محسوس نیستند. در اینجا سعی شده است با طرحی نوین و نگاهی جدید به این معادله‌ها تا حدودی این مقوله محسوستر جلوه کند. اصل کار، نوشتن معادله‌های شتابهای خطی در یک دستگاه دیگر است که دستگاه سرعتی نامیده شده است. زوایای حمله پل ارتیاطی دو دستگاه بدنه و دستگاه سرعتی خواهد بود. پس از معرفی اصول کار و معادله‌های مربوط به حالت کلی، یک موشك متفاوت که از لحاظ آیرودینامیکی نیز پایدار است و از سطوح کنترلی در آن استفاده می‌شود به عنوان مثال بحث شده است. در پایان مزایای خاصی از این نگاه نوین ارائه

۲- بررسی معادله‌ها به شکل مرسوم

در شکل مرسوم، معادله‌های شتابهای خطی و همین طور معادله‌های شتابهای زاویه‌ای در دستگاه چسبیده به بدنه معروف به مختصات بدنه نوشته می‌شوند. فرض می‌شود سرعت زاویه‌ای این مختصات بدنه نوشته می‌شوند. اگر تغییر جرم به در همان مختصات بدنه به نام p, q و r می‌شناسند. اگر تغییر جرم به صورت نیروی پیش رانش مدل شود، معادله‌های نیروهای خطی به صورت زیر در می‌آیند:

$$\sum F = m P_I v = m (P_B v + \omega_{BI} \times v)$$

$$v^B = \begin{bmatrix} u \\ v \\ w \end{bmatrix}, \quad \omega_{BI}^B = \begin{bmatrix} p \\ q \\ r \end{bmatrix} \Rightarrow$$

بررسی می‌کنیم. در شکل (۱) چنین دستگاهی را نسبت به مختصات x_B و y_B و z_B می‌بینیم. در شکل زاویه حمله α_1 و زاویه حمله β_1 به نمایش گذارده شده‌اند. لازم به ذکر است که در شکل دو جفت از زوایای حمله (α_1, β_1) و (α_2, β_2) داده شده‌اند که هر کدام می‌توانند استفاده شوند. در نظر داشته باشید که در بخش (۵) به این شکل مراجعه خواهیم کرد تا ارتباط بین مختصات سرعتی و مختصات بدن را به دست آوریم. توجه شود که در اینجا زاویه سوم اویلر $[3]$ را آزاد گذاریم.

۵- به دست دادن شباهای خطی در دستگاه مختصات

سرعتی به جای مختصات بدن

سرعت زاویه‌ای این دستگاه را نسبت به اینرسی ω_{VI} می‌نامیم.
حال برای معادله‌های نیروها داریم

$$\sum F = m P_I v = m [P_v v + \omega_{VI} \times v] \quad (4)$$

حال اگر توجه کنید داریم

$$[v]^v = \begin{bmatrix} v \\ 0 \\ 0 \end{bmatrix}$$

و فرض می‌کنیم

$$(\omega_{VI})^v = \begin{bmatrix} \omega_1 \\ \omega_2 \\ \omega_3 \end{bmatrix}$$

با توجه به مطالب بالا نهایتاً خواهیم داشت

$$\begin{bmatrix} \sum F_x \\ \sum F_y \\ \sum F_z \end{bmatrix}^v = m \left[\begin{bmatrix} \dot{v} \\ 0 \\ 0 \end{bmatrix} + \begin{bmatrix} \omega_1 \\ \omega_2 \\ \omega_3 \end{bmatrix} \times \begin{bmatrix} v \\ 0 \\ 0 \end{bmatrix} \right] = m \begin{bmatrix} \dot{v} \\ v\omega_3 \\ -v\omega_2 \end{bmatrix} \quad (5)$$

چنانچه دقت شود، معادله‌های به دست آمده در حقیقت تفکیک شتاب خطی به شتاب مماسی و شتاب جانبی است. در حقیقت $m\dot{v}$ نیروی شتاب دهنده یا بازدارنده مماسی و $m[v\omega_3 - v\omega_2]$ در حقیقت نیروی ایجادکننده و یا بازدارنده شتاب جانبی خواهد بود. یکی از نکات قابل توجه در معادله‌ها این است که ω_1 هیچ تأثیری روی نتایج مربوط به شباهها ندارد و این موضوع عجیب نیست چون سرعت زاویه‌ای بردار سرعت همواره بر این بردار عمود

$$\begin{bmatrix} \sum F_x \\ \sum F_y \\ \sum F_z \end{bmatrix}^B = m \left[\begin{bmatrix} \dot{u} \\ \dot{v} \\ \dot{w} \end{bmatrix} + \begin{bmatrix} p \\ q \\ r \end{bmatrix} \times \begin{bmatrix} u \\ v \\ w \end{bmatrix} \right]$$

$$= m \left[\begin{bmatrix} \dot{u} + [qw - rv] \\ \dot{v} + [ru - pw] \\ \dot{w} + [pv - qu] \end{bmatrix} \right] \quad (1)$$

چون فقط معادله‌های فوق الذکر را تغییر خواهیم داد، روش به دست آوردن معادله‌های مربوط به گشتاورها را تکرار نکرده (به [۱ و ۲] مراجعه کنید) و فقط نتایج نهایی را می‌آوریم

$$\begin{bmatrix} \sum M_x \\ \sum M_y \\ \sum M_z \end{bmatrix}^B = \begin{bmatrix} pI_x - rJ_{xz} + qr(I_z - I_y) - pqJ_{xz} \\ qI_y + pr(I_x - I_z) + (p^2 - r^2)J_{xz} \\ rI_z - pJ_{xz} + pq(I_y - I_x) + qrJ_{xz} \end{bmatrix} \quad (2)$$

۳- ساده‌سازی معادله‌ها براساس متقارن بودن موشک در دو محور

هر چند بحث مورد نظر در این مقاله مستقل از موشکهای متقارن نیز قابل بررسی است، با این حال چون در اینجا بررسیهای جلوتر مخصوص این نوع موشکها انجام شده است، اثر تقارن را روی معادله‌های گشتاور می‌نویسیم. تقارن، باعث می‌شود ممان اینرسیها شرایط زیر را پیدا کنند [۱]

$$J_{xz} = 0 \quad I_z = I_y$$

و در نتیجه به دست می‌آید که

$$\begin{bmatrix} \sum M_x \\ \sum M_y \\ \sum M_z \end{bmatrix}^B = \begin{bmatrix} I_x \dot{p} \\ I_y \dot{q} + (I_x - I_z) pr \\ I_z \dot{r} + (I_y - I_x) pq \end{bmatrix} \quad (3)$$

۴- معرفی دستگاه مختصات سرعتی و زوایای حمله

در ادامه دستگاه مختصاتی را معرفی می‌کنیم که اساس کار خواهد بود. دستگاهی را در نظر بگیرید که محور x ‌های آن همواره به بردار سرعت چسبیده باشد و طبیعتاً دو محور دیگر آن در صفحه‌ای عمود بر بردار سرعت خواهد بود. نام این دستگاه را دستگاه مختصات سرعتی می‌نامیم و آن را با زیرنویس ۷ نمایش می‌دهیم. برای نمایش بهتر، این دستگاه را نسبت به دستگاه مختصات بدن

حال به سادگی می‌توان ω_{vB}^v در مختصات سرعتی را یافت

$$\begin{aligned} [\underline{\omega}_{vB}]^v &= [\underline{\omega}_{vI}]^v - R_B^v [\underline{\omega}_{BI}]^B = \begin{bmatrix} \omega_1 \\ \omega_2 \\ \omega_3 \end{bmatrix} - R_B^v \begin{bmatrix} p \\ q \\ r \end{bmatrix} = \\ &\left[\begin{array}{l} \omega_1 - [pC_{\beta_1}C_{\alpha_1} + qS_{\beta_1}C_{\alpha_1} - rS_{\gamma_1}] \\ \omega_2 - [p[C_{\beta_1}S_{\alpha_1}S_{\gamma_1} - S_{\beta_1}C_{\gamma_1}] + q[S_{\beta_1}S_{\alpha_1}S_{\gamma_1} + C_{\beta_1}C_{\gamma_1}] + r[C_{\alpha_1}S_{\gamma_1}] \\ \omega_3 - [p[C_{\beta_1}S_{\alpha_1}C_{\gamma_1} + S_{\beta_1}S_{\gamma_1}] + q[S_{\beta_1}S_{\alpha_1}C_{\gamma_1} - C_{\beta_1}S_{\gamma_1}] + r[C_{\alpha_1}C_{\gamma_1}] \end{array} \right] \end{aligned} \quad (7)$$

چنانچه می‌دانیم α_1 و β_1 و γ_1 زوایای معروف اویلرند که دو دستگاه بدن و دستگاه سرعتی را به هم مربوط می‌سازند که معمولاً اینها را در کتابهای مرجع به نامدهای Θ , Φ و Ψ نشان می‌دهند [۱ و ۲]. از طرف دیگر ω_{vB}^v در حقیقت سرعت زاویه‌ای دستگاه سرعتی (دوم) نسبت به دستگاه بدن (اول) در دستگاه سرعتی (دوم) است، که مؤلفه‌های این را نیز در کتابهای مرجع با P , Q و R نمایش می‌دهند [۱ و ۲]. رابطهٔ بین این متغیرها در تمام کتابهای مرجع وجود دارد که داریم

$$\begin{aligned} \dot{\Theta} &= QC_\Phi - RS_\Phi \\ \dot{\Phi} &= P + QS_\Phi t_\Theta + RC_\Phi t_\Theta = P + \dot{\Psi}S_\Theta \end{aligned} \quad (8)$$

$$\dot{\Psi} = Q \frac{S_\Phi}{C_\Theta} + R \frac{C_\Phi}{C_\Theta}$$

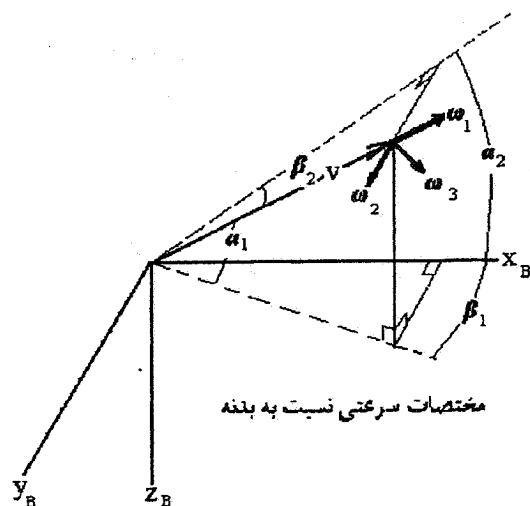
حال با جاگذاری α_1 , β_1 و γ_1 به جای Θ , Φ و Ψ و مؤلفه‌های ω_{vb} که در معادله (7) به دست آمده‌اند به جای P , Q و R ساده‌سازی مفصلی که لازم است، معادله‌های زیر به دست می‌آیند

$$\begin{aligned} \dot{\alpha}_1 &= pS_{\beta_1} - qC_{\beta_1} + \omega_2C_{\gamma_1} - \omega_3S_{\gamma_1} \\ \dot{\beta}_1 &= -pC_{\beta_1}t_{\alpha_1} - qS_{\beta_1}t_{\alpha_1} - r + \omega_2S_{\gamma_1}/C_{\alpha_1} + \omega_3C_{\gamma_1}/C_{\alpha_1} \end{aligned} \quad (9)$$

$$\dot{\gamma}_1 = -pC_{\beta_1}/C_{\alpha_1} - qS_{\beta_1}/C_{\alpha_1} + \omega_1 + \omega_2S_{\gamma_1}t_{\alpha_1} + \omega_3C_{\gamma_1}t_{\alpha_1}$$

حال چنانچه دقت شود:

- الف - طرف چپ معادله‌های نیرو (معادله ۶) در تشخیص جهتهای خود نیاز به α_1 , β_1 و γ_1 دارند که از این معادله‌ها به دست می‌آیند.
- ب - طرف چپ معادله‌های گشتاور (معادله ۳) نیز نیاز به α_1 و β_1 به عنوان زوایای حمله دارند که از این معادله‌ها به دست می‌آیند.
- ج - این معادله‌ها خود نیاز به p , q و r دارند که از معادله‌های گشتاور



مختصات سرعتی نسبت به بدن

شکل ۱- مختصات سرعتی نسبت به بدن

است و همان سرعت زاویه‌ای است که در شتابهای جانبی موثر است و در نتیجه تنها مؤلفه‌های موثر از سرعت زاویه‌ای، مؤلفه‌های عمود بر بردار سرعت خواهند بود.

این سادگی زیبا در معادله‌ها با توجه به این نکته که جهتهای دقیق متغیرهای حالت ω_2 و ω_3 معین نیستند، تیره می‌شود. اما جای نگرانی نیست، در ادامه با بررسی اوضاع نسبی دو دستگاه بدن و سرعتی خواهید دید که این موضوع به زیبایی‌های این نگرش خواهد افزود.

۶- به دست آوردن ارتباط بین معادله‌های شتابهای خطی و شتابهای زاویه‌ای از طریق زوایای حمله
حال معادله‌های شتابهای خطی در مختصات سرعتی و معادله‌های شتابهای زاویه‌ای در مختصات بدن‌اند. آنچه هم اکنون مهم است به دست دادن ارتباط بین دو دستگاه است.

فرض می‌کنیم که مختصات سرعتی را به اندازه β_1 حول محور z_B دوران دهیم و سپس به اندازه α_1 حول محور y_B دوران دهیم آن‌گاه محورهای x_B و y_B یکی شده‌اند و حال برای تطابق کامل دو دستگاه کافی است به اندازه γ_1 (زاویه سوم اویلر) نیز حول محور x دوران دهیم. با این اوصاف ماتریس دوران تبدیل دو دستگاه خواهد بود [۳]

$$R_B^v = \begin{bmatrix} C_{\beta_1}C_{\alpha_1} & S_{\beta_1}C_{\alpha_1} & -S_{\alpha_1} \\ C_{\beta_1}S_{\alpha_1}S_{\gamma_1} - S_{\beta_1}C_{\gamma_1} & S_{\beta_1}S_{\alpha_1}S_{\gamma_1} + C_{\beta_1}C_{\gamma_1} & C_{\alpha_1}S_{\gamma_1} \\ C_{\beta_1}S_{\alpha_1}C_{\gamma_1} + S_{\beta_1}S_{\gamma_1} & S_{\beta_1}S_{\alpha_1}C_{\gamma_1} - C_{\beta_1}S_{\gamma_1} & C_{\alpha_1}C_{\gamma_1} \end{bmatrix} \quad (6)$$

می کردیم لای مورد نظر نیز متفاوت شده و در معادله ها درست اتفاق معکوس می افتد. در ادامه این موضوع به شکل ملmostri بررسی شده است.

در واقع با روشهای که ما دستگاه مختصات سرعتی را ساختیم محور y آن همواره موازی صفحه OXY_B باقی میماند، لذا اثر مستقیم r روی $\dot{\alpha}_1$ صفر خواهد شد. معادله ها در حالت معکوس یعنی برای زوایای β_2, α_2 و γ_2 به صورت مشابه به دست آمده و اگر شرط $0 = \dot{\gamma}_2$ را دوباره اعمال کنیم روابط مشابهی برای $\dot{\alpha}_2$ و $\dot{\beta}_2$ به دست می آیند، اما این بار $\dot{\beta}_2$ اثری از q خواهد یافت و بر عکس این بار در $\dot{\alpha}_2$ اثر r به صورت جزئی ظاهر خواهد شد چرا که z آن همواره موازی صفحه OX_BZ_B باقی میماند. اگر شما $\dot{\beta}_2$ و α_1 را به عنوان زوایای حمله خود انتخاب کنید، محور w_2 و w_3 به ترتیب موازی صفحات بدنه خواهند بود اما w_2 و w_3 مربوط دیگر بر هم عمود نخواهند بود چون هر یک با یکی از صفحات جانبی بدنه موازی باقی مانده اند. این بدین معنی خواهد بود که میتوان این معادله ها را حتی برای w_2 و w_3 نامتعامد نوشت اما باید توجه داشت که گشتاورهای به دست آمده مؤلفه هایی روی یکدیگر خواهند داشت. این موضوع فقط در اینجا مقدمه سازی شده است. بحث بیشتر را به تحقیقات و مقاله های دیگر و امی گذاریم. در صورت نیاز، معادله ساده زیر بین این زوایای حمله بسیار مفید خواهد بود

$$t_{\alpha_1} = [C_{\beta_1}] t_{\alpha_2} \quad (11)$$

$t_{\beta_2} = [C_{\alpha_2}] t_{\beta_1}$
در ادامه معادله ها را برای دستگاه متعامد با α_1 و β_1 می دهیم و نه با α_1 و β_2 و نهایتاً دوباره شتابهای زاویه ای و خطی را با هم می نویسیم تا معادله های این دیدگاه جدید یک جا قابل دیدن باشند

$$mv = [\sum F_x]^v = Drag + Thrust (C_{\alpha_1} C_{\beta_1})$$

$$(mv)w_3 = [\sum F_y]^v = Lift + Thrust (-S_{\beta_1})$$

$$-(mv)w_2 = [\sum F_z]^v = Lift + Thrust (C_{\beta_1} S_{\alpha_1})$$

$$\dot{\alpha}_1 = w_2 - [C_{\beta_1}] q + [S_{\beta_1}] P$$

$$\dot{\beta}_1 = [1/C_{\alpha_1}] w_3 - r + [-C_{\beta_1} t_{\alpha_1}] P + [-S_{\beta_1} t_{\alpha_1}] q$$

به دست می آیند.

- این معادله ها دوباره نیاز به w_1 و w_3 دارند که فقط w_2 و w_3 از معادله های نیرو به دست می آیند و w_1 آزاد است و قیدی ندارد. در نتیجه این معادله ها دارای یک درجه آزادی در w_1 هستند و با انتخابهای متفاوت و دلخواه آن میتوان معادله های بالا را به صورتهای مختلف ساده کرد. در ادامه به ساده سازی که در اینجا بیشتر مورد نظر بوده است، می پردازیم و بحث های خود را روی آن تعمیم می دهیم.

۷- حذف $\dot{\gamma}_1$

میتوان $\dot{\gamma}_1$ را هر مقداری فرض کرده و معادله ها را از $\dot{\gamma}_1$ مستقل کرد که البته این عمل w_1 را به شکل خاص تحمیل خواهد کرد. به عبارت ساده تر چون w_1 اختیاری است میتوان مثلاً آن را طوری انتخاب کرد که $w_1 = 0$ مقدار ثابتی باشد و این یعنی $\dot{\gamma}_1 = 0$. حال با فرض $w_1 = 0$ معادله ها را به دست می آوریم

$$\dot{\alpha} = w_2 - [C_{\beta_1}] q + [S_{\beta_1}] P$$

$$\dot{\beta} = [1/C_{\alpha_1}] w_3 - r - [S_{\beta_1} t_{\alpha_1}] q - [C_{\beta_1} t_{\alpha_1}] P$$

$$w_1 = p \left[\frac{C_{\beta_1}}{C_{\alpha_1}} \right] + q \left[\frac{S_{\beta_1}}{C_{\alpha_1}} \right] - w_3 [t_a] \quad (10)$$

معادله w_1 نقشی ایفا نخواهد کرد و به آن نیازی نداریم بلکه فقط برای آنکه معلوم باشد چه اتفاقی افتاده است، ارائه شده است.

برای محاسبه مسیر حرکت نیز دو راه وجود دارد یا از p و q و r و w_3 و w_2 و w_1 استفاده کرد و یا با در دست داشتن w_1 و w_2 و w_3 و v مسیر را محاسبه کنیم که در صورت اخیر نیاز به معادله w_1 در بالا خواهد داشت.

نکات مهمی در این معادله ها وجود دارد که عبارت اند از:
۱- نقش p (چرخش موشک) در زوایای حمله ظاهر شده و دیگر در معادله های شتاب نیامده است.

۲- معادله مربوط به $\dot{\alpha}$ هیچ اثری از w_3 و r ندارد و این مطلوب است در حالی که w_1 از q متأثر است (هر چند اندک). این تفاوت به دلیل این است که دستگاه سرعتی را مابا ابتدا حول B به اندازه ω_B دوران دادیم و سپس حول y_B به اندازه α_1 اگر بر عکس عمل

$$\dot{\alpha}_1 = \omega_2 - q$$

$$(mv)\omega_2 = T \left[-C_{\beta_1} S_{\alpha_1} \right] - L (\alpha_1, \beta_1)$$

$$[I_y] \dot{q} = M_{zc} + M_{zs} + M_{zd}$$

$$\dot{\beta} = \omega_3 - r$$

$$(mv)\omega_3 = T \left[-S_{\beta_1} S_{\alpha_1} \right] - L (\alpha_1, \beta_1)$$

$$[I_z] \dot{r} = M_{zc} + M_{zs} + M_{zd} \quad (13)$$

دوباره توجه کنید که C_{β_1} ضریب است که مطابق آنچه در بالاگفته شد، می‌تواند صرف نظر شود و همین طور به جای $\sin \alpha$ می‌توان α را در نظر گرفت.

عمولاً lift در راستای y_7 را متأثر از β در نظر می‌گیرند. همین طور lift در راستای z_7 را متأثر از α در نظر می‌گیرند. چنانچه lift در راستای y_7 به α_1 و در نتیجه در راستای z_7 به β_1 نیز بستگی داشته باشد تداخل خواهیم داشت ولی عموماً چنین فرضی نشده و لذا به دو دسته معادله‌ها در دو راستای شتاب جانبی می‌رسیم که هر یک به طور مجزا قابل بررسی و کاملاً مشابه یکدیگرند. در ادامه فقط یکی از آن دو را بررسی می‌کنیم.

$$(mv)\omega_2 = -T\alpha_1 - L_{\alpha_1} \cdot \alpha_1$$

$$\dot{\alpha}_1 = \omega_2 - q$$

$$(I_y) \dot{q} = m_y^{\delta} \delta - m_y^q \alpha_1 = m_y^q q \quad (14)$$

ابتدا که زاویه حمله‌ای نیست، ω_2 به وجود نمی‌آید و لذا شتاب جانبی نداریم و لابد $\omega_2 = q = 0$. حال اگر سطوح کترل فعال شوند آن‌گاه δ ابتدا q به وجود می‌آورد و سپس بلافاصله α تولید می‌شود. α تولید شده ω_2 و شتاب جانبی به وجود می‌آورد و در ضمن α تولید شده حالت برگرداننده فنری را برای q ایجاد شده خواهد داشت. در ادامه ω_2 به وجود آمده باعث کاهش α خواهد شد. تغییرات ضرایب L و mv و I_y و m_y^{δ} و m_y^q را می‌توان به صورت ضرایب متغیر با زمان در نظر گرفت و سیستم خطی دارای توابع تبدیل زیر خواهد بود که δ زاویه انحراف سطوح کترلی است

$$I_x \dot{p} = \sum M_x$$

$$I_y \dot{q} = \sum M_y + [I_z - I_x] pr$$

$$I_z \dot{r} = \sum M_z + [I_x - I_y] pq \quad (12)$$

توجه کنید که هیچ ساده‌سازی صورت نپذیرفته و این معادله‌ها کاملاً صحیح‌اند و می‌دانیم که با داشتن اندازه v و w مسیر حرکت در اختیار است.

توجه کنید که نیروها و ممانها همگی توابعی از زوایای حمله‌اند که هم اکنون نقش مؤثر آنها در معادله‌ها مشخص است. زیبایی معادله‌ها در این است که هم اکنون، زوایای حمله به عنوان پل ارتباطی مختصات بدن و سرعتی نشسته‌اند و چون نیروها در مختصات سرعتی و ممانها در مختصات بدن نوشته شده‌اند در حقیقت از لحاظ ریاضی نیز پل ارتباطی معادله‌های ممانها و نیروها، زوایای حمله‌اند.

به خصوص موقعی مهم است که توجه کنیم زوایای حمله عموماً بسیار کوچک‌اند و معادله‌های ارتباط دهنده سرعت زوایای بدن و سرعت زاویه‌ای بردار سرعت، بسیار ساده‌تر خواهند شد. خواهیم دید که وقتی اثر P کم فرض شود معادله‌ها تقریباً خطی ظاهر خواهند شد.

۸- معادله‌ها برای موشک‌های با سرعت چرخش صفر و زاویه چرخش صفر با سطوح کنترل [۴]

حال اگر سیستم کترولی در موشک سعی کند p و $\int pdt$ را صفر نگه دارد آن‌گاه عبارتهاي $[C_{\beta_1}, t_{\alpha_1}]$ و $[p[S_{\beta_1}, t_{\alpha_1}]$ می‌توانند به صورت اختلالاتی ناخواسته با دامنه کم فرض شوند. عبارتهاي pr و pq نیز از این امر مستثنی نبوده و معادله‌ها بسیار ساده‌تر خواهند شد.

در ضمن اگر توجه شود که عموماً زوایای حمله بسیار کوچک‌اند، در نتیجه عبارتهاي C_{β_1} که ضریب ظاهراً متغیری برای q در $\dot{\alpha}_1$ و $\dot{\alpha}_1 \cdot \sec \alpha_1$ که ضریبی ظاهراً متغیر برای ω_3 در $\dot{\beta}_1$ هستند می‌توانند ثابت فرض شده و تقریباً واحد فرض شوند (توجه کنید: $\beta_1 = 0.9854$ و $C_{10^\circ} = 0.94$). به این ترتیب معادله‌های $\dot{\alpha}_1$ و $\dot{\beta}_1$ به صورت زیر ساده می‌شوند

بیشترین تفاوت مقدار b است. اثبات ریاضی این موضوع را صرف نظر می‌کنیم و در ادامه فرض می‌کنیم b مقدار ثابت داشته و متغیر با زمان نیست.

در تحلیل بخش قبل فرض کردیم $b=1$ حال فرض کنید به صورت اغراق آمیز $b=C_{20}=0.94$ یعنی در تخمین b مثلاً درصد خطای داشته‌ایم و می‌خواهیم بینیم این خطای چه مقدار خطای در کل محاسبه پارامترهای حرکت و مسیر موشک خواهد داشت.

$$q' \triangleq bq \rightarrow \dot{q}' = bq \rightarrow \begin{cases} I_{yy} \frac{1}{b} \dot{q}' = m^\delta \dot{\delta} - m^\alpha \alpha_1 - (m^q/b) q' \\ \dot{\alpha}_1 = \omega_2 - q' \end{cases}$$

$$\Rightarrow a'_4 = b\alpha_4 \quad a'_3 = b\alpha_3 \quad a'_2 = a_2 \quad a'_1 = a_1$$

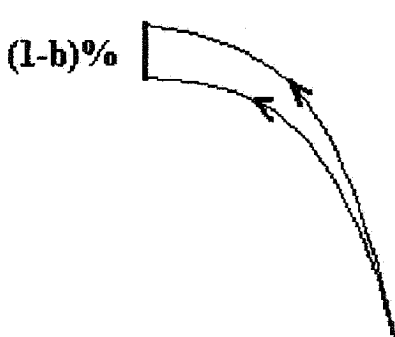
$$\Rightarrow \omega_2(s) = \frac{ba_1 a_4}{s^2 + [a_1 + a_2] s + [a_1 a_2 - ba_3]} \delta(s)$$

$$q(s) = \frac{a_4 [s + a_4]}{s^2 + [a_1 + a_2] s + [a_1 a_2 - ba_3]} \delta(s)$$

$$\frac{\omega_2(s)}{q} = \frac{ba_1}{s + a_1} \quad (16)$$

چنانچه ملاحظه می‌شود ω_2 و α_1 نیز نسبت به حالت حقیقی جداکثر به همان میزان ۶ درصد خطایی که در b فرض شده دارای خطای در محاسبه خواهد بود.

حال برای یافتن خطای کل در محاسبه مسیر موشک برای سادگی فرض می‌کنیم به یک ω ثابت رسیده‌ایم. در یک صفحه مسیر خواهیم داشت



شکل ۲- خطای محاسبه مسیر

$$\omega_2(s) = \frac{a_1 a_4}{s^2 + [a_1 + a_2] s + [a_1 a_2 - a_3]} \delta(s)$$

$$-\alpha(s) = \frac{a_4}{s^2 + [a_1 + a_2] s + [a_1 a_2 - a_3]} \delta(s)$$

$$q(s) = \frac{a_4(s + a_1)}{s^2 + [a_1 + a_2] s + [a_1 a_2 - a_3]} \delta(s)$$

$$\frac{\omega_2(s)}{q(s)} = \frac{a_1}{s + a_1}$$

$$a_1 \triangleq \frac{T + L\alpha_1}{mv} \quad a_2 \triangleq \frac{m^q}{I_y}$$

$$a_3 \triangleq \frac{m^q}{I_y} \quad a_4 \triangleq \frac{m^\delta}{I_y} \quad (15)$$

یعنی با یک ورودی δ به یک ثابت می‌رسیم و با آخره صفر شده ω_2 و با یک ثابت زمانی، q را دنبال می‌کند و پس از حالت گذرا ω_2 و q یکی خواهند شد و یعنی بردار سرعت به دنبال بدنه می‌رود و بدنه که می‌پیچد بردار سرعت هم به دنبال آن می‌پیچد.

۹- بررسی اثر ضریب غیرخطی کننده $C_{\beta 1}$

۱-۹- خطای حلقة باز معادله‌ها

یکی از امکاناتی که این معادله‌های جدید ایجاد می‌کنند بررسی عوامل غیرخطی و سادگی مقایسه آن با حالت خطی است. در اینجا عوامل غیرخطی به صورت ضرایبی مانند $C_{\beta 1}$ در q و یا $[1/C_{\alpha 1}]$ در ω_3 ظاهر شده‌اند که در ادامه خطای ایجاد شده در محاسبات را توسط این ضرایب مورد بررسی قرار می‌دهیم.

با توجه به اینکه β_1 در حال تغییر است ضریب $C_{\beta 1}$ نیز تغییراتی خواهد داشت. با نگاهی به اصول معادله‌های دیفرانسیل و انتگرال می‌توان نشان داد که در معادله‌های مربوطه، تغییرات لحظه‌ای b به صورت انتگرال مؤثر است و به عبارت بهتر خطای حاصل از تغییرات لحظه‌ای b کمتر از خطای حاصل از متوسط b است که به طریق اولی خطای حاصل از تغییرات b قطعاً کوچکتر از خطای مطلق حاصل از

معادله‌ها یعنی نیروها نشان دهند که این بحث در معادله‌های کلاسیک نیز موجود است. تداخل زاویه چرخش موشک در رفتار دو مؤلفه جانبی شتاب به طور دقیق داده شده است. بسته به شرایط کنترل موشک این تداخل می‌تواند به صورت یک ورودی ناخواسته در هر مؤلفه دیده شود و یا اینکه به صورت یک ورودی، اثر آن روی هر دو مؤلفه به طور جداگانه قابل بررسی شده است. چنانچه در حالت عدم چرخش دو مؤلفه جانبی به طور کامل از هم جدا شده و هر یک به تنها یی قابل بررسی شده‌اند.

در اینجا دیگر لازم نیست معادله‌ها فقط حول یک نقطه کار خطی سازی شوند بلکه معادله‌ها خود به صورت تقریباً خطی در آمده‌اند و کافی است فقط سرعت موشک را به صورت یک ضریب متغیر با زمان (در صورت نیاز) در نظر گرفت. در حالی که این معادله‌ها به طور دقیق مسیر حرکت را می‌دهند در عین حال آنچه از لحظه دینامیکی صورت می‌پذیرد از طریق زوایای حمله کوچکتر از معادله‌هایشان کاملاً ملموس شده‌اند.

از بین رفتن تداخل این الهام را می‌بخشد که می‌توان دو سیستم کنترل کاملاً مشابه را که هیچ ارتباطی هم با یکدیگر ندارند در طراحیها استفاده کرد. حال اگر توجه کنیم که مسیر عبارت است از اندازه سرعت و سرعت زاویه آن که همواره بر آن عمود است. پس کنترل عبارت می‌شود از کنترل روی اندازه سرعت (اگر امکان‌پذیر است) و کنترل روی سرعت زاویه‌ای بردار سرعت. حال اگر متقاود شده باشیم که کنترل دو مؤلفه سرعت زاویه‌ای نیز از یکدیگر مستقل‌اند، آن‌گاه بررسی حرکت موشک در فضای مربوط در صفحه به حرکت آن روی صفحه و تمام تحلیلهای مربوط در صفحه عیناً در فضای نیز صادق خواهد ماند. به عبارت ساده‌تر کنترل و هدایت و مسائل مربوط به آنها در فضای دقیقاً مشابه صفحه خواهد بود ولی گویا این صفحه در حال حرکت است.

$$\theta = \omega t + \theta_0$$

$$\begin{cases} v_x = vC_\theta = vC_{(\omega t + \theta_0)} \\ v_y = vS_\theta = vS_{(\omega t + \theta_0)} \\ \begin{cases} x = \frac{v}{\omega} S_{(\omega t + \theta_0)} \\ y = \frac{-v}{\omega} C_{(\omega t + \theta_0)} \end{cases} \end{cases} \quad (17)$$

$$x'_{\max} = \frac{v}{b\omega} \rightarrow \frac{x_{\max}}{x'_{\max}} = b \quad (18)$$

و خطای در مسیر نیز حداقل به همان میزان خطای $C_{\beta 1}$ خواهد بود و نه بیشتر. به عنوان مثال برای زوایای حمله کوچکتر از 20° خطای محاسبه قطعاً کوچکتر از ۶ درصد و برای زوایای حمله کوچکتر از 10° خطای کمتر از $1/5$ درصد و برای زوایای حمله کوچکتر از 5° خطای قطعاً کمتر از $4/5$ درصد است.

۲-۹- خطای حلقة بسته معادله‌ها

باید در نظر داشت که خطای به دست آمده در بالا در حالی است که معادله‌های حرکت موشک تحت هیچ اتوپایلوتی نیست و به صورت حلقة باز در نظر گرفته شده است. چنانچه خطای محاسبه هنگام وجود یک اتوپایلوت یک موشک خاص که این محاسبه شد به طوری که برای اتوپایلوت یک موشک خاص که این محاسبه انجام شده است خطای ۶ درصد در حلقة باز به خطای $1/5$ درصد در حلقة بسته رسیده است. این به دلیل وجود فیدبک در اتوپایلوت است که موجب تقلیل خطای در محاسبه خواهد شد.

حال چنانچه علاوه بر حلقة بسته اتوپایلوت حلقة بسته هدایت نیز در نظر گرفته شود خطای حاصل از محاسبه باز هم بسیار کاهش خواهد یافت.

۱۰- نتیجه‌گیری

پر واضح است که معادله‌های شتابهای خطی فوق العاده ساده‌تر شده و تداخل بین مؤلفه‌های مختلف آن تقریباً از بین رفته است. تداخل ذاتی می‌تواند در صورت وجود خود را در طرف دیگر این

مراجع

1. Blakelock, J. H., *Automatic Control of Air craft and Missiles*, John Wieley, 1991.
 2. Mclean, D., *Automatic Flight Control Systems*, Prentic Hall, 1995.
 3. Craig, J. J., *Introduction to ROBOTICS*, Addison Wesley, 1989, 1986.
- ۴- مدارک مربوط به یک موشک.